УДК:546.791.0015:661.92

# Экспериментальное исследование предела обнаружения <sup>236</sup>U в воздухе с использованием радиохимического выделения и альфа-спектрометрии

А.Д. Гедеонов<sup>1</sup>, И.В. Колчин<sup>1, 2</sup>, А.К. Авениров<sup>2</sup>

<sup>1</sup>ФГУП НПО «Радиевый институт им. В.Г. Хлопина», Санкт-Петербург <sup>2</sup>Санкт-Петербургский государственный университет, Санкт-Петербург

Основными источниками поступления урана в окружающую среду являются горнодобывающие предприятия, ядерные испытания, аварии ядерных реакторов и предприятия ядерного топливного цикла. Радионуклид <sup>236</sup>U образуется из <sup>235</sup>U при захвате тепловых нейтронов и используется для идентификации следов техногенного урана. В данной работе описан чувствительный метод для определения <sup>236</sup>U в приземном слое атмосферного воздуха, включающий озоление и прокаливание фильтров после прокачки атмосферного воздуха, полное растворение остатка в смеси минеральных кислот, выделение и очистку урана от примесей с использованием анионообменной хроматографии и изготовление альфа-спектрометрического источника. Длительные альфа-спектрометрические измерения проводились на альфа-спектрометре с кремниевым ионно-имплантированным планарным детектором. Предел обнаружения <sup>236</sup>U в приземном слое атмосферного воздуха составил 5×10-9 Бк/м³ (2 нг/м³).

Ключевые слова: <sup>236</sup>U, приземный слой атмосферного воздуха, анионообменная хроматография, альфа-спектрометрия.

#### Введение

Радионуклид  $^{236}$ U ( $T_{1/2} = 2,342 \times 10^7$  лет) образуется по реакции  $^{235}$ U (n,  $\gamma$ )  $^{236}$ U и используется для идентификации следов техногенного урана в пробах окружающей среды, отобранных в районе расположения предприятий ядерного топливного цикла, ядерных полигонов и АЭС. По данным работы [1], общее количество наработанного <sup>236</sup>U составляет около 10<sup>6</sup> кг. Изотопное отношение  $^{236}$ U/ $^{238}$ U для проб воды, почвы и донных отложений, отобранных на значительном удалении от потенциальных источников <sup>236</sup>U, находится в интервале 6×10<sup>-10</sup> -1,5×10-9 [1, 2]. В почвах вблизи Чернобыльской АЭС это отношение достигает  $10^{-6} - 10^{-3}$  [ 3, 4] и по мере удаления от аварийного блока АЭС на 200 км выходит на уровень 2×10-7. В работе [5] были проведены измерения изотопного отношения <sup>236</sup>U/<sup>238</sup>U в пробах почвы вблизи заводов Рокки Флэтс (Колорадо, США), донных отложений из реки Аштабула (Огайо, США), загрязненных выбросами заводов, перерабатывавших в 1962-1988 гг. обедненный и обогащенный уран, а также в донных отложениях из дельты реки Мёрси (Ливерпуль, Великобритания), накапливавших радионуклиды, выброшенные в окружающую среду заводами оружейного комплекса Селлафилд (Великобритания). Наибольшее значение изотопного отношения <sup>236</sup>U/<sup>238</sup>U для проб, отобранных в районе расположения предприятий атомной промышленности, равное 1,4×10-4, было зафиксировано для донных отложений р. Аштабула. В почвах из окрестности заводов Рокки Флэтс максимальное отношение 236U/238U составило  $2.8 \times 10^{-6}$ , в донных отложениях р. Мёрси –  $4.4 \times 10^{-6}$ . В иголках сосны, отобранных вблизи завода по газодиффузионному обогащению урана, изотопное отношение  $^{236}$ U/ $^{238}$ U достигает значений  $8\times 10^{-5}$  [6].

Все экспериментальные результаты по измерению  $^{236}$ U/ $^{238}$ U в работах [1–6] были получены с помощью масс-спектрометрии с индуктивно связанной плазмой (ICP-MS) и ускорительной масс-спектрометрии (AMS). Существенным недостатком этих методов является невозможность прямого измерения концентрации <sup>236</sup>U в исследуемых пробах, поскольку возможности данных методов основаны на измерении изотопных отношений. Указанный недостаток отсутствует в альфа-спектрометрическом методе, который позволяет одновременно измерять содержание <sup>238</sup>U, <sup>234</sup>U и <sup>235</sup>U в пробах окружающей среды после радиохимического выделения урановой фракции с радиоактивным индикатором <sup>232</sup>U [7, 8]. Сравнению наиболее перспективной разновидности масс-спектрометрии с индуктивно связанной плазмой метода ICP-SFMS и альфа-спектрометрии для идентификации переработанных урановых материалов посвящена работа [9]. Однако авторы работы [9] ограничили свое исследование только пробами обогащенных окислов урана. Предел обнаружения <sup>236</sup>U в растворенных 10 мг навесках окислов урана составил 1,1 мкг/г для ICP-SFMS и 13 мкг/г для альфа-спектрометрии.

**Цель исследования.** Цель настоящей работы состояла в экспериментальном исследовании предела обнаружения <sup>236</sup>U в пробах окружающей среды после радиохимического выделения урановой фракции и альфа-спектрометрических измерений. В качестве объекта исследований был выбран приземный слой атмосферного воздуха. В просмотренной нами научно-технической

литературе данных о методиках измерения  $^{236}$ U и его содержании в приземном слое атмосферного воздуха обнаружено не было.

#### Материалы и методы

Пробы аэрозолей из приземного слоя атмосферного воздуха отбирали на фильтры ФПП-15 (ткань Петрянова) внутри и за пределами зоны наблюдения предприятия ядерного топливного цикла. Снятые фильтры после прокачки воздуха озоляли и прокаливали при 1000°C. Для контроля химического выхода в навеску золы до ее прокаливания вносили радиоактивный индикатор <sup>232</sup>U. Прокаленный остаток полностью растворяли в смеси концентрированной плавиковой, азотной и соляной кислот. Затем проводили соосаждение урана с Fe(OH), и его очистку от примесей на анионообменной смоле АВ-17. Конечным этапом было изготовление альфа-спектрометрического источника выпариванием выделенной урановой фракции с тетраэтиленгликолем (ТЭГ) на кварцевом диске. Изготовленные альфа-спектрометрические источники измеряли на кремниевом ионно-имплантированном планарном детекторе альфа-частиц с площадью чувствительной поверхности 1200 мм<sup>2</sup> и разрешением 30 кэВ на альфа-линии 5500 кэВ. Экспозиция составляла от 4 до 15 суток. Контроль достоверности методики измерений проводился [8] с использованием эталонной пробы донных отложений IAEA-300.

#### Результаты и обсуждение

В таблице 1 приведены ядерно-физические данные [10, 11] для изотопов урана. Альфа-спектры урановых фракций, выделенных из озоленных фильтров, приведены на рисунках 1 и 2.

Таблица 1 Ядерно-физические характеристики изотопов урана

| Нуклид           | Период полу-<br>распада, лет | Энергии основ-<br>ных альфа-ли-<br>ний, кэВ | Выход на распад, % |
|------------------|------------------------------|---|--------------------|
| <sup>234</sup> U | 2,445×10 <sup>5</sup>        | 4775 71,8                                   |                    |
|                  |                              | 4723  | 27,9               |
| <sup>235</sup> U | $7,038 \times 10^{8}$        | 4599  | 5,4                |
|                  |                              | 4558  | 4,5                |
|                  |                              | 4417  | 2,1                |
|                  |                              | 4397  | 54                 |
|                  |                              | 4366  | 17                 |
|                  |                              | 4326  | 4,7                |
|                  |                              | 4218  | 5,7                |
| <sup>236</sup> U | $2,342 \times 10^7$          | 4494  | 73,9               |
|                  |                              | 4445  | 26,0               |
| <sup>238</sup> U | 4,468×10 <sup>9</sup>        | 4197  | 76,8               |
|                  |                              | 4150  | 23,0               |

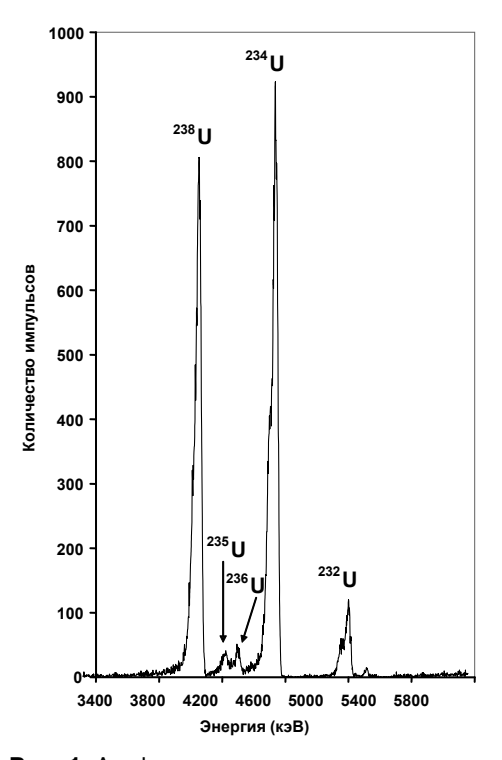


Рис. 1. Альфа-спектр урана, выделенного из озолённого фильтра. Прокачка 157 000 м<sup>3</sup> приземного слоя атмосферного воздуха в зоне наблюдения предприятия ядерного топливного цикла. Время измерения 4 суток

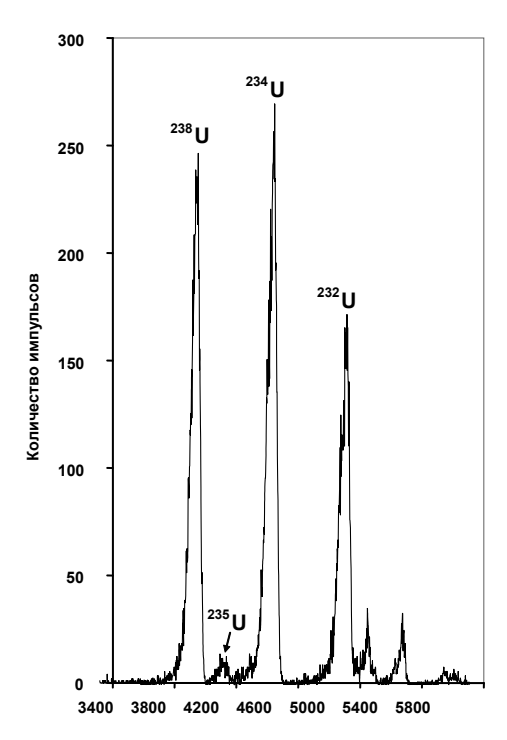


Рис. 2. Альфа-спектр урана, выделенного из озоленного фильтра. Прокачка 207 000 м³ приземного слоя атмосферного воздуха за пределами зоны наблюдения предприятия ядерного топливного цикла.

Время измерения 15 суток

Таблица 3

Содержание изотопов урана в приземном слое атмосферного воздуха

| Managa - 11 a Garantia - 1   | Концентрация радионуклида, Бк/м³ |                            |                            |                                |
|--|----------------------------------|----------------------------|----------------------------|--------------------------------|
| Место пробоотбора  | <sup>234</sup> U                 | <sup>235</sup> U           | <sup>236</sup> U           | <sup>238</sup> U               |
| В зоне наблюдения предприятия ядерного топливного цикла            | $(8,2\pm0,7)\times10^{-6}$       | $(2,5\pm0,7)\times10^{-7}$ | $(2,5\pm0,7)\times10^{-7}$ | $(7,2\pm0,7)\times10^{-6}$     |
| За пределами зоны наблюдения предприятия ядерного топливного цикла | $(1,1\pm0,1)\times10^{-6}$       | $(5,5\pm0,8)\times10^{-8}$ | _                          | $(9.3 \pm 0.8) \times 10^{-7}$ |

Изотопные отношения изотопов урана (г/г) в приземном слое атмосферного воздуха

| Место пробоотбора   | <sup>234</sup> U/ <sup>238</sup> U | <sup>235</sup> U/ <sup>238</sup> U | <sup>236</sup> U/ <sup>238</sup> U |
|---|------------------------------------|------------------------------------|------------------------------------|
| В зоне наблюдения предприятия ядерного топливного цикла               | $(6.0\pm0.1)\times10^{-5}$         | $(5,3\pm0,2)\times10^{-3}$         | $(1,8\pm0,1)\times10^{-4}$         |
| За пределами зоны наблюдения предприятия<br>ядерного топливного цикла | $(6.0\pm0.1)\times10^{-5}$         | $(7,7 \pm 0,4) \times 10^{-3}$     | -                                  |

Анализ альфа-спектра, приведенного на рисунке 1, указывает на присутствие 236U в приземном слое атмосферного воздуха, отобранного в зоне наблюдения предприятия ядерного топливного цикла. За пределами зоны наблюдения в пробе приземного слоя атмосферного воздуха альфа-пики <sup>236</sup>U с энергией 4494 кэВ и 4445 кэВ отсутствуют (см. рис. 2). Обработка полученных альфа-спектров с помощью программы Genie 2000. 3.1. Alpha Analysis Software позволила рассчитать концентрации изотопов  $^{234}$ U,  $^{235}$ U,  $^{236}$ U и  $^{238}$ U в указанных точках пробоотбора (табл. 2). Изотопные отношения идентифицированных изотопов урана приведены в таблице 3.

Поскольку естественное содержание <sup>238</sup>U и <sup>235</sup>U в приземном слое атмосферного воздуха находится в интервале  $1 \times 10^{-7} - 1 \times 10^{-5}$  Бк/м<sup>3</sup> и  $5 \times 10^{-8} - 1.8 \times 10^{-6}$ Бк/м<sup>3</sup> соответственно [7], приведенные в таблице 2 концентрации  $^{238}$ U и  $^{235}$ U указывают на глобальное (фоновое) содержание этих радионуклидов в измеренных пробах воздуха. Однако присутствие альфа-линии 236U в спектре на рисунке 1, позволяет надежно идентифицировать уран техногенного происхождения в приземном слое атмосферного воздуха, отобранного в зоне наблюдения предприятия ядерного топливного цикла. Величина изотопного отношения <sup>236</sup>U/<sup>238</sup>U в этой пробе воздуха (см. табл. 3) оказалась наиболее близкой к значению  $1.4 \times 10^{-4}$ , измеренному в работе [5] для донных отложений р. Аштабула, загрязненных выбросами обеднённого и обогащенного урана.

Оценкапределаобнаружения 236 Uввоздухебылапроведена на основе статистического подхода для малого числа событий для области энергий 4,44 – 4,49 мэВ на рисунке 2. Предел обнаружения <sup>236</sup>U в приземном слое атмосферного воздуха с использованием радиохимического выделения и альфа-спектрометрии составил  $5 \times 10^{-9} \; \text{Бк/м}^3 \; (2 \; \text{нг/м}^3) \;$  при прокачке не менее 200 000 м<sup>3</sup>.

#### Литература

- 1. Steiner, P. Natural and anthropogenic <sup>236</sup>U in environmental samples / P. Steiner [et al.] // Nuclear Instruments and Methods in Physics Research. - 2008. - B 266. - P. 2246-2250.
- 2. Quinto, F. The first use of 236U in the general environment and near a shutdown nuclear power plant / F. Quinto [et al.] // Applied Radiation and Isotopes. - 2009. - V. 67. - P. 1775-1780.
- 3. Mironov, V.P. Determination of irradiated reactor uranium in soil samples in Belarus using 236U as irradiated uranium tracer / V.P. Mironov [et al.] // Journal of Environmental Monitoring -2002. – V. 4. – P. 997–1002.
- 4. Hotchkis, M.A.C. Measurement of <sup>236</sup>U in environmental media / M.A.C. Hotchkis [et al.] // Nuclear Instruments and Methods in Physics Research. – 2000. – B 172. – P. 659–665.
- 5. Ketterer, M.E. Anthropogenic <sup>236</sup>U at Rocky Flats, Ashtabula river harbor, and Mersey estuary: three case studies by sector inductively coupled plasma mass spectrometry / M.E. Ketterer [et al.] // Journal of Environmental Radioactivity. - 2003. -V. 67. – P. 191–206.
- 6. Belew, W.L. Detection of uranium enrichment activities using environmental monitoring techniques / W.L. Belew [et al.] / K/NSP-129 (Oak Ridge, Tennesse, USA). - Vienna. March 30. - 1993. - P. 1-9.
- 7. Jia. G. Concentration and characteristics of depleted uranium. in water, air and biological samples collected in Serbia and Montenegro / G. Jia [et al.] // Applied Radiation and Isotopes. - 2005. - V. 63. - P. 381-399.
- 8. Авениров, А.К. Альфа-спектрометр для многосуточных измерений изотопов урана, плутония и америция, выделенных из проб окружающей среды / А.К. Авениров [и др.] // Радиация и экосистемы: материалы международной научной конференции / под общ. ред. Е.Ф. Конопли. – Гомель: РНИУП «Институт радиологии», 2008, - С. 135-138.
- Varga, Z. Detection of previous neutron irradiation and reprocessing of uranium materials for nuclear forensic purposes / Z. Varga [et al.] // Applied Radiation and Isotopes. - 2009. – V. 67. – P. 516–522.
- 10. Хольнов, Ю.В. Оцененные значения ядерно-физических характеристик радиоактивных нуклидов, применяемых в народном хозяйстве / Ю.В. Хольнов [и др.]. - М.: Энергоиздат, 1982. - С. 82, 140, 158.

11. Хольнов, Ю.В. Оцененные значения ядерно-физических характеристик радиоактивных нуклидов, применяемых в технике и медицине / Ю.В. Хольнов [и др.]. – М.: Энергоатомиздат, 1984. – С. 105.

#### A.D. Gedeonov<sup>1</sup>, I.V. Kolchin<sup>1, 2</sup>, A.K. Avenirov<sup>2</sup>

### An Experimental Investigation of the <sup>236</sup>U Detection Limit in the Surface Air Using Radiochemical Separation and Alpha-spectrometry

<sup>1</sup>Research-Industrial Association V.G. Khlopin Radium Institute, Saint-Petersburg

<sup>2</sup>Saint-Petersburg State University, Saint-Petersburg

Abstract. Due to nuclear weapon testing, nuclear reactor accidents, uranium mining and nuclear fuel reprocessing, additional uranium has been introduced into the environment. <sup>236</sup>U isotope is produced from <sup>235</sup>U by capture of a thermal neutron and it can be used as an indicator for artificial uranium in the environment. In this paper the sensitive method for <sup>236</sup>U determination in the surface air is described. This method includes a total dissolution of the air dust in a mixture of mineral acids, uranium concentration and purification by anion-exchange chromatography. Long time measurements of the separated uranium fraction are made with the use of alpha-spectrometer based on PIPS-detector. The lower limit of detection for <sup>236</sup>U in the surface air is determined as 5 • 10 9 Bq/m³ (2 ng/m³).

Key words: <sup>236</sup>U, surface air, anion-exchange chromatography, alpha-spectrometry.

А.Д. Гедеонов Поступила: 05.11.2011 г.

Тел. (факс) (812) 346-11-02 E-mail: gedeonov@pop3.rcom.ru

Уважаемые читатели! В т. 4, № 3 за 2011 г. были допущены технические ошибки. Таблицу 5 на странице 11 и таблицу 8 на странице 41 следует читать следующим образом:

Таблица 5

### Максимальные удельные активности <sup>134</sup>Cs в молоке, овощах, рыбе и морепродуктах и соответствующие им дозы внутреннего облучения за счет «фукусимских» радиоактивных выпадений для различных рационов питания

| Территория      | Максимальная удельная активность <sup>134</sup> Cs, <b>Бк/кг</b> |       | Максимальная оценка годовой дозы<br>внутреннего облучения, мкЗв в год |          |          |
|-----------------|--|-------|---|----------|----------|
|                 | Молоко   | Овощи | Рыба и морепродукты   | Рацион 1 | Рацион 2 |
| Приморский край | 1,2  | 0     | 5,7   | 34,0     | 8,0      |
| Остров Сахалин  | 1,0  | 1,1   | 4,7   | 19,0     | 10,0     |
| Остров Кунашир  | 2,5  | 1,8   | 4,7   | 24,0     | 19,0     |

#### Таблица 8

## Результаты консервативной оценки максимальных доз внутреннего облучения взрослых жителей, проживающих в обследованных НП юго-восточной части Сахалинской области

| Населенный пункт | СГЭДвнутр, мЗв/год |  |
|------------------|--------------------|--|
| Отрада           | 0,089              |  |
| Головнино        | 0,04               |  |
| Южно-Курильск    | 0,03               |  |
| Малокурильское   | 0,04               |  |
| Крабозаводское   | 0,03               |  |